

УДК 535.372

© 1991

## ЭЛЕКТРОН-ФОНОННЫЕ ВЗАИМОДЕЙСТВИЯ В ПРИМЕСНЫХ ЦЕНТРАХ $S_2^-$ В КРИСТАЛЛАХ $Cs_2SO_4$

*Д. Н. Говорун, И. Я. Кушниренко, С. Г. Неделько,  
Н. П. Смоляр*

Приведены результаты спектрально-люминесцентных исследований кристаллов  $Cs_2SO_4-S_2^-$  при 300—4.2 К. Структурные при 4.2 К полосы фотовозбуждения и люминесценции отождествлены с электронно-колебательными переходами  $^2\Pi_u \rightleftharpoons ^2\Pi_g$  в примесных анионах  $S_2^-$ . Определены параметры ангармонических осцилляторов центра люминесценции  $S_2^-$ . Сопоставление спектров люминесценции и СКР кристаллов  $Cs_2SO_4-S_2^-$  позволяет получить данные по динамике кристаллической решетки.

Кристаллы сульфатов щелочных металлов  $Me_2SO_4$  ( $Me=Li, Na, K, Rb, Cs$ ) в последнее время привлекают пристальное внимание. Это связано с тем, что такие кристаллы являются при нормальных условиях сегнетоэлектриками, а с повышением температуры испытывают структурный фазовый переход, становятся паразелектриками [1]. Сегнетоэлектрические свойства и особенности фазовых переходов в значительной мере определяются динамикой колебаний кристаллической решетки и их взаимодействием с электронной подсистемой. Для изучения колебательно-колебательных взаимодействий в кристаллах  $Me_2SO_4$  перспективным является метод исследования спектроскопических свойств примесных молекулярных анионов (МА)  $S_2^-$ , образующих в таких кристаллах центры люминесценции [2]. По спектрам излучения при низких температурах благодаря наличию в них узких бесфононных линий (БФЛ) и структурных фононных крыльев (ФК) можно наблюдать проявление как высокочастотных локальных колебаний, так и низкочастотных кристаллических колебаний, т. е. весь набор колебаний матрицы в широком диапазоне частот.

В данном сообщении приведены результаты спектрально-люминесцентных исследований кристаллов  $Cs_2SO_4$ , активированных анионами  $S_2^-$ . (Для активации кристаллов использовалась «серая элементарная», представляющая собой естественную смесь изотопов серы, а в некоторых случаях специально обогащенная до 30 % изотопом  $^{34}S$ ). Методика выращивания кристаллов, регистрации спектров люминесценции и спонтанного комбинационного рассеяния (СКР) описана в [2]. Кристаллы  $Cs_2SO_4$  при нормальном давлении и температурах ниже 300 К относятся к ромбической сингонии с числом формульных единиц в ячейке  $z=4$  и описываются пространственной группой симметрии  $D_{2h}^{16}$  и локальной симметрией анионных узлов  $C_s$  [3].

Спектры люминесценции рассматриваемых кристаллов образованы суперпозицией нескольких самостоятельных ( $A$ -,  $B$ -,  $C$ - и  $F$ -полосы; рис. 1), отличающихся временами затухания излучения, положением и распределением энергии в спектре. Их вклад в полный спектр зависит от длины волны возбуждающего света  $\lambda_v$  и времени задержки  $t_s$  момента регистрации сигнала относительно возбуждающего импульса. В фотовозбуждении выделяются две полосы: бесструктурная коротковолновая полоса с максимумом 27 000  $cm^{-1}$  и длинноволновая полоса в области

20 000—27 000  $\text{cm}^{-1}$ , обладающая вибронной структурой (рис. 1). Из рис. 1 следует, что длинноволновой полосе излучения *C* соответствует коротковолновое возбуждение, а структурные полосы люминесценции *A* и *B* сопряжены с длинноволновой структурной полосой возбуждения. Как и для кристаллов  $\text{Rb}_2\text{SO}_4-\text{S}_2$  [2], структурные полосы возбуждения и люминесценции можно отождествить с электронно-колебательными переходами  ${}^2\Pi_u \rightleftharpoons {}^2\Pi_g$  в примесных МА  $\text{S}_2^-$ , замещающих группы  $\text{SO}_4^{2-}$  в узлах решетки кристалла  $\text{Cs}_2\text{SO}_4$ . В результате расщепления электронных состояний в кристаллическом поле симметрии  $C_s$  на два подуровня  ${}^2\Pi_u \rightarrow {}^2A'+{}^2A'$ ,  ${}^2\Pi_g \rightarrow {}^2A''+{}^2A''$  наблюдаются две серии в спектрах люминесценции *A* и *B*, которые обусловлены переходами из нижайшего возбужденного электронно-колебательного состояния  ${}^2A'$  на различные

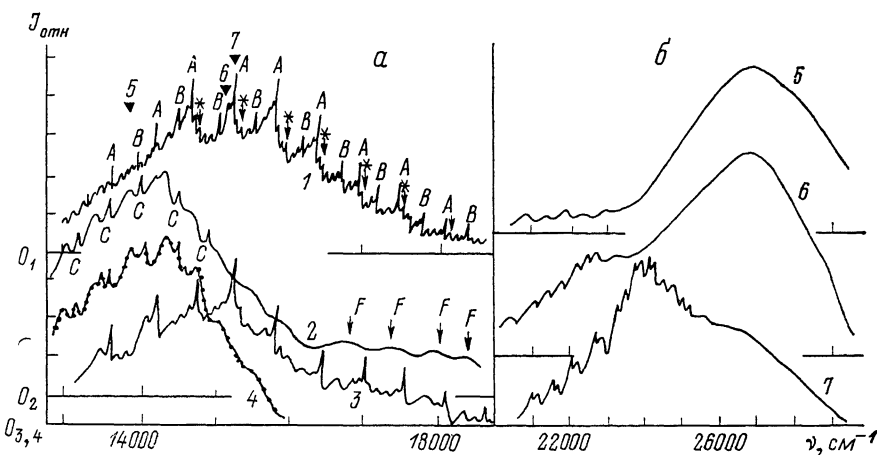


Рис. 1. Интегральные (1, 2) и с временным разрешением (3, 4) спектры люминесценции и спектры фотовозбуждения эмиссии (5—7) кристалла  $\text{Cs}_2\text{SO}_4-\text{S}_2$  при 4.2 К.  $\lambda_B=441.5$  (1) и 337.1 нм (2, 4),  $t_S=0.8$  (3) и 10.0 мкс (4),  $\lambda_{\text{рег}}$  в области ФК вибронных групп эмиссии с  $v=10$  (5) и 8 (6) и в области БФЛ серии А с  $v=8$  (7). На кривой 1 области  $\lambda_{\text{рег}}$  отмечены сплошными треугольниками.

колебательные уровни  $v$  двух компонентов расщепления основного электронного состояния  ${}^2A''$  анионов  $({}^{32}\text{S}{}^{32}\text{S})^-$ . С учетом сдвига изотопических линий  $A^*$ , обусловленных переходами в анионах  $({}^{32}\text{S}{}^{34}\text{S})^-$  и отмеченных на рис. 1 (кривая 1) звездочками, определены частоты чисто электронных переходов  $\nu_{00}=20\ 152$ ,  $20\ 429$  и  $20\ 151$   $\text{cm}^{-1}$ , частоты локальных колебаний  $\nu=594$ ,  $590$  и  $586$   $\text{cm}^{-1}$ , ангармонизм  $2\nu=5.7$ ,  $5.2$  и  $5.6$   $\text{cm}^{-1}$  для осцилляторов *A*, *B* и  $A^*$  анионов  $({}^{32}\text{S}{}^{32}\text{S})^-$  и  $({}^{32}\text{S}{}^{34}\text{S})^-$  соответственно. Природа слабоинтенсивных полос *C* и *F* спектров излучения пока не установлена. Учитывая, что многие характеристики этих полос (структура спектров, время затухания, среднее расстояние между вибронными полосами  $\Delta_{\text{cp}}$ ) сильно отличаются от параметров вибронных групп *A* и *B* (в частности,  $\Delta_{\text{cp}}(A)=553$ ,  $\Delta_{\text{cp}}(B)=550$  и  $\Delta_{\text{cp}}(C)=432$   $\text{cm}^{-1}$ ), можно предположить, что полосы *C* и *F* обусловлены излучением центров другого типа внедрения (в частности, это могут быть ассоциаты МА  $\text{S}_2^-$  с вакансиями решетки или же с междуузельными катионами  $\text{Cs}^+$ ).

Локальные колебания, формируемые примесными МА, проявляются в спектрах СКР; соответствующие им линии СКР обнаруживаются в области частот внутренних колебаний  $\nu_4(F_2)$  группы  $\text{SO}_4^{2-}$  (на рис. 2, кривая 3 они отмечены сплошными стрелками). Кроме того, в низкочастотной области 20—200  $\text{cm}^{-1}$  спектров СКР проявляется ряд пиков, частоты которых близки положениям максимумов структуры ФК спектров люминесценции (рис. 2). Положения линий в спектре СКР и максимумов ФК эмиссии даны в таблице. Отметим, что структура ФК, отличаясь в сериях *A* и *B*, в общих чертах удовлетворительно повторяется от группы к группе

по квантовому числу  $v$  для каждой из таких серий. Вместе с тем при увеличении  $v$  имеет место и возрастание фактора Дебая—Валлера  $\alpha = -J_{\text{БФЛ}}/(J_{\text{БФЛ}} + J_{\text{ФК}})$ , где  $J_{\text{БФЛ}}$  и  $J_{\text{ФК}}$  — интегральные интенсивности БФЛ и ФК, а в тонкой структуре ФК при этом проявляются новые детали. Несмотря на изменения  $\alpha$  в пределах 0.12—0.16 для  $v=3\div10$ , значения его не позволяют характеризовать фононное крыло как однофононное

Положения линий в спектрах СКР  
и усредненные по вибронным группам эмиссии  
положения пиков ФК серии A и B  
(в  $\text{см}^{-1}$ ) для кристаллов  $\text{Cs}_2\text{SO}_4-\text{S}_2^-$

СКР	ФК серии A	ФК серии B	Интерпретация
36	35	35	$\nu_{\text{либр}} (\text{S}_2^-)$
40	45	43	$\nu_{\text{либр}} (\text{S}_2^-)$
43			
45			
50	52	—	
53			
60	58	—	
62			
64	65	65	
71	75	71	
98	—	95	
111	105	108	
115			
116	118	115	
130	132	132	$\nu_{\text{транс}} (\text{SO}_4^{2-}) [^3]$
139			
142	—	140	
149	150	148	
—	172	172	
—	188	—	
—	200	200	
444			
447	—	—	$\nu_2 (E) (\text{SO}_4^{2-})$
450			
470			
475	—	—	$\Delta_{\text{cp}} (\text{серии C}) (\text{S}_2^-)$
599	—	—	$\nu_\theta (\text{серии B}) (\text{S}_2^-)$
607	—	—	$\nu_\theta (\text{серии A}) (\text{S}_2^-)$
613			
616	—	—	$\nu_4 (F_2) (\text{SO}_4^{2-})$
618			
972	—	—	$\nu_1 (A_1) (\text{SO}_4^{2-})$
1093			
1112	—	—	$\nu_3 (F_2) (\text{SO}_4^{2-})$
1128			

$f_0(v)$ , что имело бы место при  $\alpha \geqslant 0.8$  [4, 5]. Выделение однофононной функции  $f_0(v) \sim \xi^2(v) \rho(v)$  позволило бы разделить вклад функции электрон-фононной связи  $\xi^2(v)$  и плотности фононных состояний  $\rho(v)$  в формирование ФК. Максимумы ФК обычно связывают с особыми (критическими) точками фононного спектра кристалла. Однако в настоящее время спектральное распределение  $\rho(v)$  и дисперсионные кривые кристаллических колебаний решетки  $\text{Cs}_2\text{SO}_4$  неизвестны. Поэтому предварительный анализ сделан на основании сравнения структуры ФК для серий A и B и спектров СКР. Из такого сопоставления (см. рис. 2 и таблицу)

следует, что максимумы ФК в областях 45–62 и 95–150 см<sup>-1</sup> можно отнести к проявлению максимумов распределения  $\rho(\nu)$ ; в частности, это могут быть трансляции и либрации групп SO<sub>4</sub><sup>2-</sup> [3]. Фононное крыло в средней (65–90 см<sup>-1</sup>) части, видимо, в основном связано с особенностями функции  $\xi^2(\nu)$ . Такой вывод следует из отличия формы ФК в этом диапазоне для серий A и B и значительной интенсивности ФК в районе наблюдаемого здесь провала (65–90 см<sup>-1</sup>) в спектре СКР. Высокочастотные максимумы 160–200 см<sup>-1</sup>, возможно, формируются многофононными переходами.

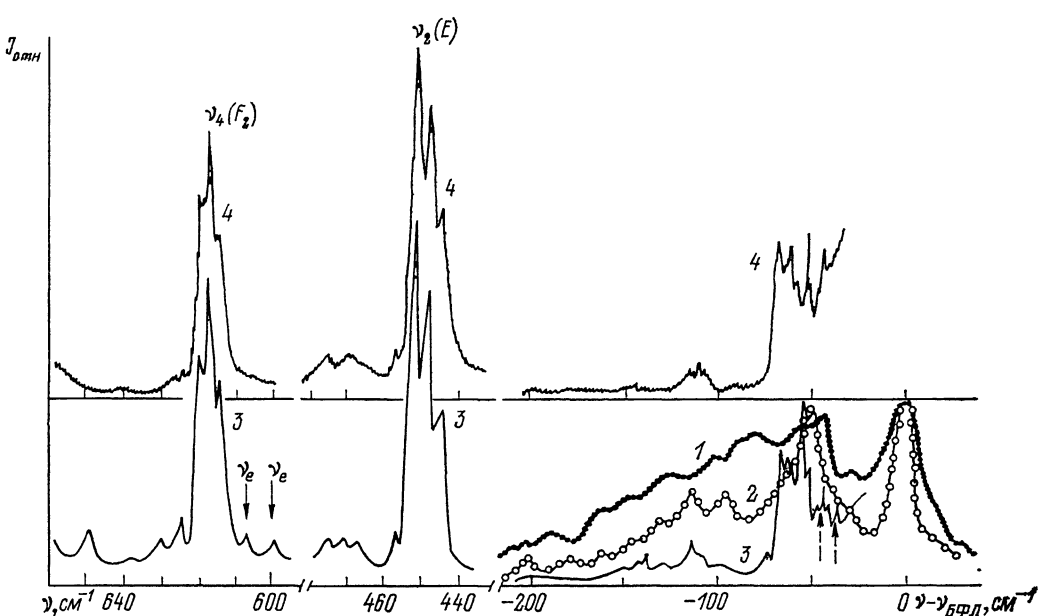


Рис. 2. Спектры БФЛ и ФК в сериях A (1) и B (2) вибронных групп эмиссии с  $\nu=8$  примесных MA S<sub>2</sub> в кристалле Cs<sub>2</sub>SO<sub>4</sub> при 4.2 К и  $\lambda_b=457.9$  нм; СКР кристаллов Cs<sub>2</sub>SO<sub>4</sub>–S<sub>2</sub> (3) и Cs<sub>2</sub>SO<sub>4</sub> (4) при 300 К.

Линии СКР 36 и 45 см<sup>-1</sup> (на рис. 2 (кривая 3) они отмечены пунктирными стрелками) могут быть отнесены к псевдодоломальным колебаниям, наведенным примесью S<sub>2</sub>, что следует из сравнения спектров СКР «чистых» и примесных кристаллов (рис. 2, кривые 3, 4).

Таким образом, приведенные результаты показывают, что исследования спектров люминесценции и СКР «чистых» и с примесью MA S<sub>2</sub> кристаллов позволяют получить данные по динамике решетки кристаллов Cs<sub>2</sub>SO<sub>4</sub>, создавая основу для изучения в дальнейшем роли различных колебаний в перестройке структуры решетки кристалла в процессе фазового перехода.

#### Список литературы

- [1] Андреевский Б. В., Курляк В. Ю., Романюк И. А. // Изв. АН СССР, сер. физ. 1989. Т. 53. № 7. С. 1335–1338.
- [2] Говорун Д. Н., Кушниренко И. Я., Неделько С. И. и др. // ЖПС. 1990. Т. 52. № 6. С. 930–934.
- [3] Takahashi H., Meshitsuka S., Higasi K. // Spectrochimica Acta. 1975. V. 31A. N 11. P. 1617–1622.
- [4] Ребане К. К. Элементарная теория колебательной структуры спектров примесных центров кристаллов. М.: Наука, 1968. 231 с.
- [5] Осадько И. С., Альшиц Е. И., Персонов Р. И. // ФТТ. 1974. Т. 16. № 7. С. 1974–1985.